

- [6] Шилемайка А. Оптические исследования зонной структуры соединений  $A^2B^4C_2S$ . В кн.: Многодолинные полупроводники (серия электроны в полупроводниках). Вильнюс, Мокслас, 1979, с. 143-193.
- [7] Медведкин Г.А., Рудь Ю.В. - Письма в ЖТФ, 1980, т. 6, № 16, с. 986-990.

Физико-технический институт  
им. А.Ф. Иоффе АН СССР,  
Ленинград

Поступило в Редакцию  
19 февраля 1988 г.

Письма в ЖТФ, том 14, вып. 10

26 мая 1988 г.

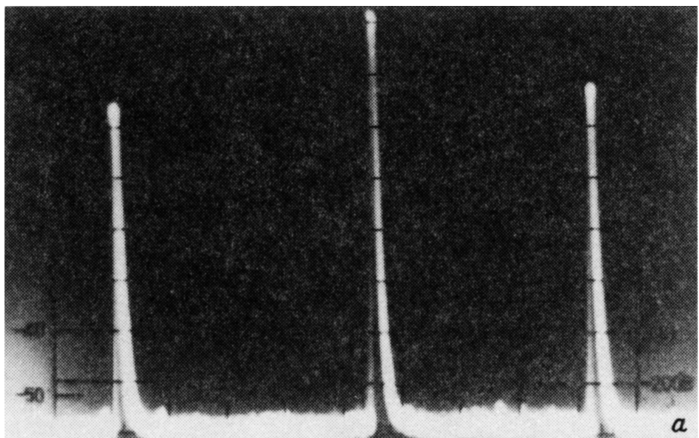
## ДИНАМИЧЕСКИЙ ХАОС В СИНХРОНИЗИРУЕМЫХ АВТОКОЛЕБАТЕЛЬНЫХ СИСТЕМАХ ПРИ НИЗКОЧАСТОТНОЙ МОДУЛЯЦИИ ПАРАМЕТРОВ

Д.М. Ваврик, О.А. Третьяков,  
И.Ю. Черишов

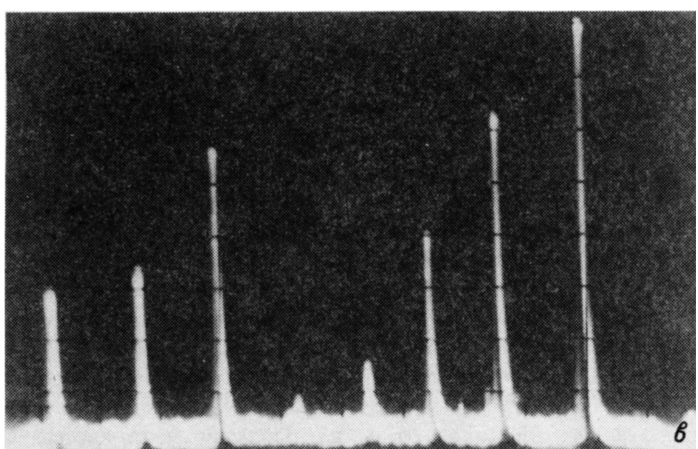
Низкочастотное воздействие на синхронизируемые автоколебательные системы широко используется для управления характеристиками выходных колебаний. В качестве примера можно сослаться на лазеры с модулированной добротностью [1], электронные генераторы [2], где применение модуляции параметров позволяет расширить полосу синхронизации. При теоретическом анализе такого воздействия на колебательные системы обычно использовались квазистатические методы (см., например, [3]), применимость которых предполагает, что низкочастотное воздействие не приводит к нарушению устойчивости системы в том смысле, что колебания остаются детерминированными. Проведенные нами систематические исследования показали, что это предположение не всегда является справедливым. Оказалось, что при периодическом изменении параметров синхронизируемого генератора с частотой  $f_M$ , которая значительно меньше его собственной частоты  $f_\alpha$ , в системе возможно возникновение стохастической неустойчивости.

Исследование конкретных условий возникновения данной неустойчивости представляет также интерес в связи с интенсивными исследованиями в последнее время общей проблемы разрушения квазипериодических колебаний в диссипативных системах [4-6]. С этой точки зрения в данном сообщении описана одна из физических ситуаций, не рассматривавшаяся ранее, в которой возможно возникновение хаоса в результате разрушения таких колебаний.

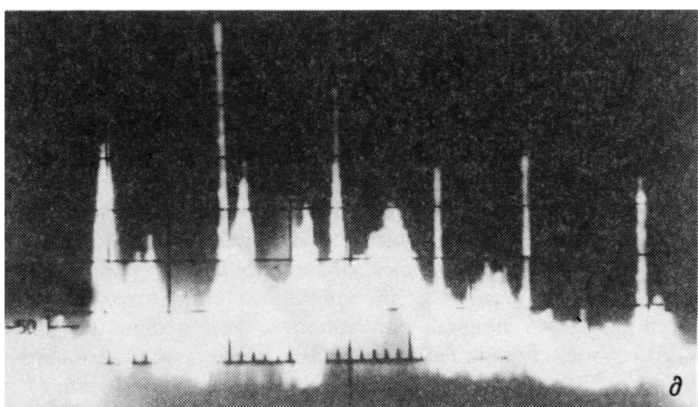
Рассмотрим результаты экспериментальных исследований резонансного генератора волноводной конструкции [8] на диоде Ганна, который синхронизировался путем подачи стабильного колебания с



a

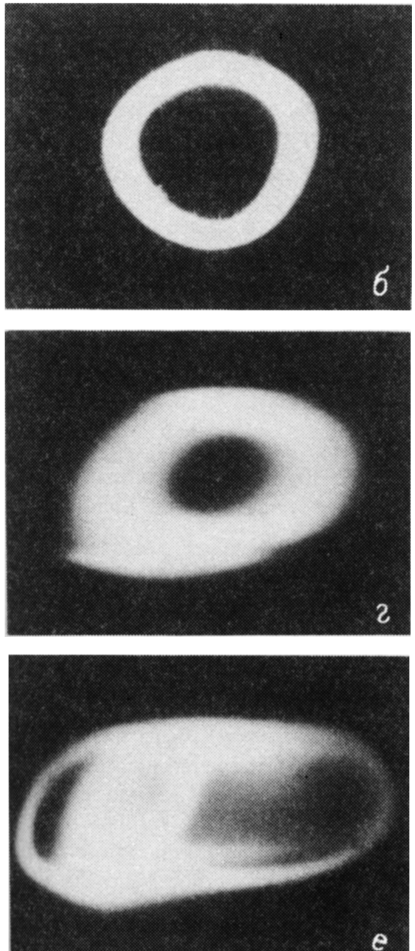


b



d

Рис. 1. Спектры колебаний и соответствующие им фазовые портреты для режимов синхронизации (а, б), биений (в, г) и стохастических колебаний (д, е).



б

г

е

частотой  $f_c$ , близкой к  $f_\alpha$ , в колебательную систему. Добротность колебательной системы  $Q$  выбиралась достаточно большой ( $Q \gtrsim 50$ ), здесь не наблюдалось возбуждения стохастических колебаний в автономном режиме работы, что характерно для генераторов на диоде Ганна с низкодобротными резонаторами (см., например, [7]). В экспериментах нами использовалась схема отражательного типа, в которой синхронизируемый клистронный генератор, а также нагрузка развязаны с помощью  $Y$ -ширкулятора. Низкочастотное изменение параметров генератора осуществлялось путем модуляции напряжения питания диода. В широком диапазоне изменения параметров системы и синхронизирующего сигнала при отсутствии модуляции стохастические колебания не возбуждались. Они возникали, начиная с определенных значений амплитуд модуляции и при определенных соотношениях между частотой модуляции и мощностью синхронизирующего генератора.

На рис. 2 приведена плоскость параметров ( $f_m, f_c$ ), на которой выделены области, соответствующие различным режимам работы генератора при  $P_c/P_\alpha = -20$  дБ, где  $P_c$  и  $P_\alpha$  — мощности синхросигнала и автоколебаний. Наличие низкочастотной модуляции, как и следовало ожидать, приводит к появлению дополнительных областей синхронизации в окрестности

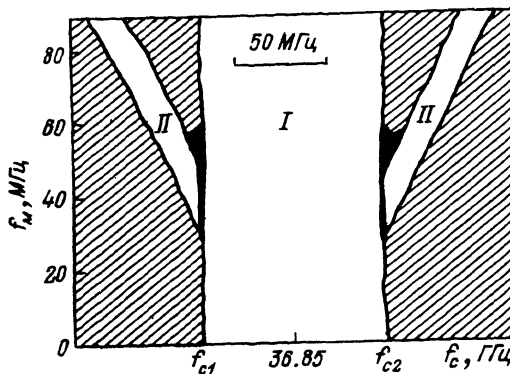


Рис. 2. Области различных режимов возбуждения генератора: I – и II – синхронизация на основной частоте их комбинационных частотах, штриховка – биения, закрашено – стохастические колебания.

комбинационных частот  $f_c \pm f_M$ , отходящих от основной области синхронизации. В экспериментах обнаружилось, что области синхронизации на основной частоте и комбинационных частотах разделяются областью стохастического поведения генератора (см. рис. 2). Режимы возбуждения колебаний идентифицировались путем контроля спектров выходных колебаний и фазовых портретов системы. Типичные спектры и соответствующие им фазовые портреты приведены на рис. 1 для режимов биений, синхронизации и стохастических колебаний. Относительная ширина спектров  $\Delta f$  всегда удовлетворяла условию  $\Delta f/f_a \ll 1$  (узкополосные колебания), что характерно для квазилинейных колебательных систем. Для наблюдения фазовых портретов использовалась следующая методика. Низкочастотный сигнал, используемый для модуляции генератора, подавался на горизонтально отклоняющие пластины, а продетектированный выходной сигнал – на вертикально отклоняющие пластины осциллографа. Детерминированным колебаниям (рис. 1, а, в) соответствует цикл и тор (б, г), стохастическим колебаниям (рис. 1, д) – странный аттрактор системы (е).

Частоты модуляции, при которых возникают стохастические колебания (см. рис. 2), примерно в  $10^3$  раз меньше частоты автоколебаний. Данные значения  $f_M$  также меньше  $f_a/Q$  – полосы пропускания системы, что позволяет говорить именно о возникновении динамического хаоса при низкочастотном воздействии на генератор.

Исследования описанной схемы генератора, а также других типов резонансных генераторов (ламповых, на ЛПД, транзисторных) показали, что возникновение стохастических колебаний не связано с конкретными свойствами носителей заряда в диоде, например с их инерционностью. Такая неустойчивость характерна для резонансных генераторов различных типов. Необходимым условием ее воз-

никновения является неизохронность автоколебаний генераторов, т.е. наличие зависимости частоты  $f_a$  от амплитуды колебаний в системе. Общей для всех таких генераторов является также связь между параметрами синхросигнала и низкочастотной модуляции, при которой возможно возникновение хаоса. Установлено, что стохастические колебания возникают в том случае, если одна из комбинационных частот, возбуждаемых в системе,  $f_c \pm kf_M$ , где  $k = 0, 1, 2, \dots$ , попадает в область частот  $f_{c1}$  или  $f_{c2}$ , соответствующих краям полосы синхронизации при отсутствии модуляции. При этом расстояние между комбинационными частотами должно быть примерно равно ширине полосы синхронизации генератора  $\Delta f_c \approx f_{c2} - f_{c1}$ . Это соответствует требованию

$$\Delta f_c \approx kf_M, \quad \text{где } k = 1, 2, \dots \quad (1)$$

При выполнении этого условия другая спектральная составляющая комбинационных частот также попадает в окрестность другой границы полосы синхронизации. Применительно к рис. 2, ширина полосы синхронизации  $\Delta f_c = 100$  МГц, а стохастизация колебаний наблюдалась в окрестности частот  $f_M \approx 50$  МГц, что соответствует  $k = 2$  в условии (1). При этом видно, что стохастические колебания возникают при выполнении условий  $f_c \approx f_{c1}$  и  $f_c \approx f_{c2}$ .

Эксперименты показали, что для возникновения хаоса уровень боковых составляющих в спектре по порядку величины должен приближаться к мощности колебания на центральной частоте. Это, в частности, видно из спектров, предшествующих возникновению стохастических колебаний (см. рис. 1). Понятно, что это условие может быть выполнено только при небольших  $k$  в условии (1). Поэтому стохастическая неустойчивость реально наблюдается при частотах модуляции, сравнимых по величине с шириной полосы синхронизации.

Из результатов экспериментов следует, что в данном случае, как в ряде других радиофизических систем [5, 6], при разрушении квазипериодических колебаний могут реализоваться различные последовательности бифуркаций при переходе к хаосу. Для их полного описания необходимо проведение специальных исследований (они будут представлены отдельно), основанных на применении двухпараметрического анализа [5, 6]. Для теоретического анализа процессов в рассматриваемых генераторах при низкочастотной модуляции их параметров, как оказалось, можно применять укороченные уравнения динамики генератора. Например, для исследования генератора на диоде Ганна применимы уравнения (3.16), (3.17) работы [9], если полагать в них коэффициенты, зависящие от тока, периодическими функциями времени. Численное определение условий перехода к хаосу, основанное на их решении, дало хорошее совпадение с экспериментальными данными.

Авторы выражают благодарность Б.А. Калугину, А.В. Белогорцеву, С.А. Булгакову за помощь в исследованиях.

## Л и т е р а т у р а

- [1] Винокуров Г.Н. - Оптика и спектроскопия, 1971, т. 31, № 3, с. 472.
- [2] Андреев В.С., Егоров М.П., Торопин В.А. - Радиотехника и электроника, 1983, т. 28, № 11, с. 2286-2288.
- [3] Родина Л.П., Шошин С.А. - Изв. вузов, Радиоэлектроника, 1986, т. 29, № 1, с. 44-48.
- [4] Афраймович В.С., Шильников Л.П. Методы качественной теории дифференциальных уравнений. Горький, 1983, с. 3-25.
- [5] Анищенко В.С. Стохастические колебания в радиофизических системах, Саратов: СГУ, 1985, ч. 1, 2.
- [6] Анищенко В.С. - ЖТФ, 1986, т. 56, в. 2, с. 225-237.
- [7] Бочаров Е.П., Коростелев Г.Н., Хрипунов М.В. - Радиотехника и электроника, 1985, 1985, т. 30, № 8, с. 1670-1672.
- [8] Чарапкин Д.П. Генераторы СВЧ на диодах Ганна, М.: Радио и связь, 1982. 112 с.
- [9] Фомин Н.Н. Синхронизация диодных генераторов СВЧ, М.: Связь, 1974. 72 с.

Харьковский государственный  
университет им. А.М. Горького

Поступило в Редакцию  
27 июля 1987 г.  
В окончательной редакции  
27 ноября 1987 г.

Письма в ЖТФ, том 14, вып. 10

26 мая 1988 г.

### СВОЙСТВА СВЕРХПРОВОДЯЩИХ ПЛЕНОК СИСТЕМЫ *Y-Ba-Cu-O*, ПОЛУЧЕННЫХ МАГНЕТРОННЫМ РАСПЫЛЕНИЕМ

Е.А. Антонова, В.Л. Рузинов, С.Ю. Старк

Вскоре после открытия в 1986 г. высокотемпературной сверхпроводимости в окисных керамических системах [1] стало ясно, что одной из наиболее актуальных задач является создание покрытий и тонких пленок высокотемпературных сверхпроводников, способных нести высокие плотности критического тока, отсутствующие в изготовленных по керамической технологии объемных образцах из-за наличия слабых связей между сверхпроводящими гранулами. Однако получение пленок и покрытий высокотемпературных сверхпроводников натолкнулось на ряд трудностей, из которых самой существенной оказалась необходимость отжига нанесенной пленки